

اندرکنش سازه‌های صلب حجیم و امواج دریا به روش المان مرزی

مهدی خراسانچی

فارغ التحصیل کارشناسی ارشد سازه – دانشکده فنی – دانشگاه تهران

mahdi_k@parsonline.net

خسرو برگی

دانشیار گروه مهندسی عمران – دانشکده فنی – دانشگاه تهران

محرم دولتشاهی

استادیار گروه مهندسی عمران – دانشکده فنی – دانشگاه تهران

(تاریخ دریافت ۸۱/۱۲/۲۴، تاریخ دریافت روایت اصلاح شده ۸۲/۸/۲۳، تاریخ تصویب ۸۳/۱۰/۲۶)

چکیده

در این تحقیق بر پایه روش المان مرزی، راه حل حوزه زمانی برای پدیده تفرق سه بعدی ارائه شده که به کمک آن اندرکنش غیر خطی امواج دریا و سازه‌های صلب حجیم با مقطع و شرایط دلخواه مورد بررسی قرار می‌گیرد. بدین ترتیب حل مسئله در هر گام زمانی به روش معادله انتگرالی و بر اساس تئوری گرین بدست می‌آید. شرایط مرزی سطح آزاد آب بسط داده می‌شود تا مرزهای متحرک حوزه سیال، به مرزهای ثابت در طول زمان کاهش یافته و در نتیجه بجای هر گام زمانی، تنها یکبار به حل دستگاه معادلات همزمان ناشی از مجزاسازی معادله انتگرالی نیاز خواهد بود. این تمهدید باعث کاهش فوق العاده زمان حل خواهد شد. حل مسئله به دو بخش پتانسیل حتمی معلوم و پتانسیل پراکنده مجھول تقسیم می‌شود که بخش مجھول در زمان و مکان گسترش یافته و باید تعیین گردد. شرط تابش نیز که بر پتانسیل پراکنده اعمال می‌شود بگونه‌ای تغییر می‌یابد که سرعت وابسته به زمان در آن لحظه شود. آنگاه بر مبنای این مباحث نظری، نرمافزاری بنام Diffraction نوشته شده و از آن برای بررسی تفرق امواج در برخورد با استوانه‌های مدور قائم استفاده شد. نیروها و تراز سطح آزاد آب مربوط به مراتب اول و دوم برای ابعاد و شرایط مختلف، ارائه شده و مقایسه نتایج با دیگر تحقیقات انجام شده سازگاری مطلوب را نشان می‌دهد.

واژه‌های کلیدی: تفرق سه بعدی، نیروی موج، المان مرزی، حوزه زمان

مقدمه

رابطه موریسن فرض می‌کند که نیروی موج بر سازه، از دو مولفه اینرسی و درگ تشکیل شده که بصورت خطی با هم جمع می‌شوند. ضرایبی در دو نیروی اینرسی (یا جرم) و درگ وجود دارند که باید از طریق تجربه و آزمایش تعیین گردند. رابطه موریسن بیشتر هنگامی کاربرد دارد که نیروی درگ اهمیت دارد. این معمولاً هنگامی رخ می‌دهد که سازه در مقایسه با طول موج کوچک باشد.

هنگامیکه نیروی درگ کوچک و مولفه اینرسی غالب است، ولیکن سازه هنوز نسبتاً کوچک می‌باشد، تئوری فرود- کرایلف را می‌توان بکار برد. در این روش از فشار ناشی از موج همچوار برای محاسبه نیرو استفاده می‌شود. مزیت این روش آنست که برای برخی موانع متقاضی، نیروی موج را می‌توان بصورت بسته حساب کرد و ضرایب نیرو نیز عموماً براحتی تعیین می‌گردند.

اگر اندازه سازه با طول موج قابل قیاس باشد، انتظار می‌رود

برخورد امواج با ساحل و موانع ساخت بشر، از دیر باز مورد توجه محققین بوده و هست. رفتار سازه و موج در برخورد آنها، متأثر از مشخصات فیزیکی هر دو می‌باشد. اصول اندرکنش موج دریا و سازه، به کمک تئوریها و روش‌های مختلف از جمله آنالیز ابعادی استخراج شده و پارامترهای مجھول نیز بوسیله تحقیقات آزمایشگاهی تعیین می‌گردند. از آنجاییکه در طراحی سازه‌های دریایی، به نیروی موج وارد بر سازه و رفتار آن نیاز می‌باشد، بدین منظور روابط متنوعی با متغیرهای متفاوت ارائه شده‌اند که از جمله معروفترین آنها می‌توان به روابط موریسن (Morison) برای سازه‌های لاغر، فرود- کرایلف (Froude-Krylov) برای سازه‌های متوسط و سینفلو (Sain Flou) برای دیوارها اشاره کرد. ضرایب ناشناخته هر یک نیز برای شرایط مختلف به کمک آزمایش و تجربه تعیین شده‌اند.

گرادیان تابع اسکالار پتانسیل، Φ ، نوشته در تئوری پتانسیل، پتانسیل سرعت کل، Φ ، از جمع پتانسیل حتمی^۱ و پراکنده^۲ بدست می‌آید. این پتانسیل رابطه لاپلاس را در مختصات قائم کارتزین (oxyz) ارضا می‌کند:

$$\nabla^2 \Phi = \frac{\partial^2 \Phi}{\partial x^2} + \frac{\partial^2 \Phi}{\partial y^2} + \frac{\partial^2 \Phi}{\partial z^2} = 0 \quad (1)$$

این رابطه در محدوده سیال صادق است که در آن $\Phi = \Phi(x, y, z, t)$ و مختصات نقطه مورد نظر در حوزه سیال است که پتانسیل در لحظه t در آن محاسبه می‌شود. مرزهای مسئله نیز در شکل (۱) تعریف شده‌اند.

» شرط مرزی دینامیکی سطح آب:

$$\frac{\partial \Phi}{\partial t} + g\eta + \frac{1}{2} \left[\left(\frac{\partial \Phi}{\partial x} \right)^2 + \left(\frac{\partial \Phi}{\partial y} \right)^2 + \left(\frac{\partial \Phi}{\partial z} \right)^2 \right] = 0 \quad (2)$$

$z = \eta$

که در آن η = تراز سطح آزاد آب و g = شتاب ثقل است.

» شرط مرزی سینماتیکی سطح آب:

$$\frac{\partial \Phi}{\partial z} - \frac{\partial \eta}{\partial t} - \frac{\partial \Phi}{\partial x} \frac{\partial \eta}{\partial x} - \frac{\partial \Phi}{\partial y} \frac{\partial \eta}{\partial y} = 0 \quad (3)$$

$z = \eta$

» شرط مرزی کف:

$$\frac{\partial \Phi}{\partial z} = 0 \quad (4)$$

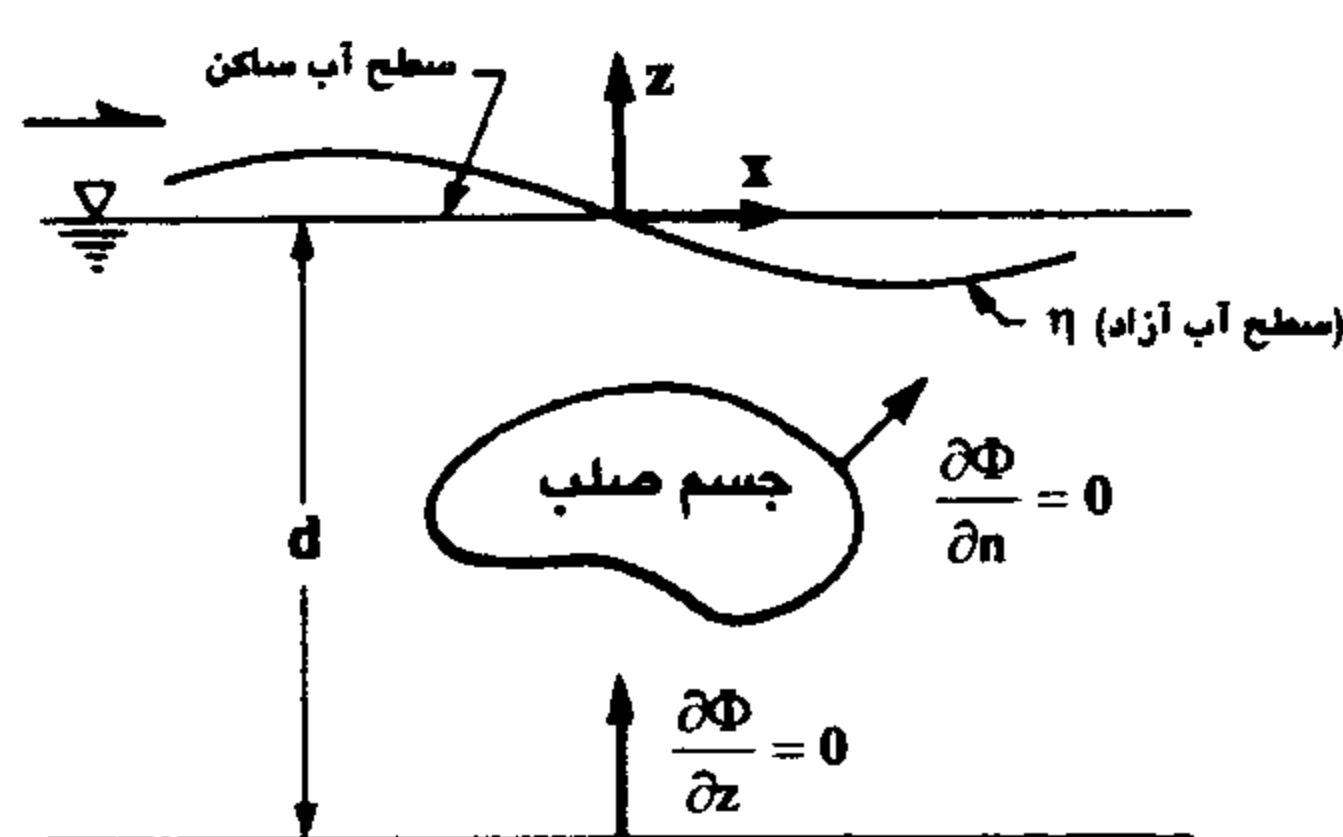
$z = -d$

» شرط مرزی سطح جسم:

$$\frac{\partial \Phi}{\partial n} = 0 \quad (5)$$

$-d \leq z \leq \eta$

این شرایط مرزی (رابطه ۲ تا ۵) همه مرزهای سیال بجز شرط حاکم در دور دست سازه (بینهایت) را تعریف می‌کنند.



شکل ۱: مرزهای مسئله مقدار مرزی تفرق.

که حضور سازه خصوصیات موج را در نزدیکی خود تغییر دهد. بویژه اگر سازه سهم قابل توجهی از طول موج را دربر گیرد، موج رسیده به سازه دچار تفرق یا پراکنده‌گی حائز اهمیتی می‌شود. در این حالت، برای محاسبه نیروی موج باید تفرق امواج از سطح سازه را نیز در نظر گرفت که بطور کلی تحت عنوان تئوری تفرق شناخته می‌شود. اگرچه جواب بصورت بسته، برای محدود حالاتی وجود دارد، ولیکن بطور کلی حل معادله لاپلاس و شرایط مرزی مربوطه نیاز مبرم به تکنیکهای عددی دارند. نرم‌افزارهای عددی موجود محدودیتهای علمی یا کاربردی به شرح زیر دارند:

- ANSYS: تنها نیروی وارد بر سازه‌های استوانه‌ای را از روش موریسن حساب کرده و بعنوان بارگذاری استفاده می‌کند. پدیده تفرق و اندرکنش سازه‌های حجمی و موج را شامل نمی‌شود.

- ABAQUS/AQUA: سرعت و شتاب ذرات را از تئوری موج خطی ایری (Airy) یا استوکس مرتبه پنج (Stokes V) حساب کرده و آنگاه مولفه درگ نیرو را از موریسن و مولفه اینرسی را از روش جرم اضافه محاسبه می‌کند. در نتیجه تفرق را در بر نمی‌گیرد.

- NASTRAN: برنامه‌ای خاص سازه و تحلیل آن بوده که موج و پدیده‌های مربوط را شامل نمی‌شود.

- NISA: تنها سیال را مدل کرده و امکان تحلیل پدیده تفرق و شرایط مرزی حاکم را ندارد.

- MOSES: برنامه تجاری و دارای سه گزینه بمنظور بررسی هیدرودینامیک که عبارتند از روش معمول موریسن، روش نواری برای تحلیل دو بعدی، روش پدیده تفرق تا مرتبه دو.

- SACS: برنامه تجاری که دو نسخه ۵ و ۵.۱ از این نرم‌افزار، پدیده تفرق سه بعدی را تا مرتبه دوم بررسی می‌کند.

- WAMIT: نرم افزاری پژوهشی از دانشگاه MIT است که توانایی تحلیل هیدرودینامیکی مشابه برنامه MOSES دارد.

بسط تئوری پدیده تفرق

صورت عمومی مسئله مقدار مرزی تفرق بشرح زیر است. فرض می‌شود که جریان نوسانی، تراکم ناپذیر و غیرچرخشی باشد. آنگاه می‌توان سرعت جریان را بصورت

مقدار مرزی برای هر مرتبه از، Φ ، بدست می‌آید. معادله حاکم لاپلاس برای مرتبه‌های مختلف بصورت زیر در خواهد آمد:

$$\nabla^2 \Phi_k = 0 \quad (11)$$

بطور کلی، دو دسته راه حل برای این مسئله ارائه شده است. از آنجا که موج و ارتعاش سازه هر دو پدیده‌های تناوبی هستند، جمعی از پژوهشگران روش حوزه فرکانسی برای حل مرتبه دوم امواج منظم با استفاده از روش آشفتگی را پیشنهاد کرده‌اند که می‌توان به کارهای زیر اشاره کرد: تیلور و هانگ (Taylor & Hung) (1987)، ابوالعظم و ویلیامز (Abul-Azm & Williams) (1988)، کیم و یو (Kim & Yue) (1989)، تیلور و وو (Taylor & Wu) (1990)، نیومن (Newman) (1990). اخیراً با بهبود این روش، مدلسازی حرکت سازه نیز ممکن است، بطور مثال تحقیقات کیم و یو (1990). جمع دیگری از محققین راه حل کاملاً غیر خطی مبتنی بر حوزه زمان را ارائه کرده‌اند که در آن در هر گام زمانی شرایط مرزی سطح آزاد بر سطح آب اعمال شده و دستگاه معادلات همزمان جدیدی تشکیل شده و حل می‌شود تا سطح آب گام زمانی بعد بدست آید. از این دسته می‌توان بکارهای زیر اشاره کرد: وینجه و برویگ (Vinge & Breivig) (1981)، ایزاکسون (Isaacson) (1982)، دمرموث و یو (Dommermuth & Yue) (1987)، گروسنباخ و یونگ (Grosenbaugh & Yeung) (1989). بعلت کاربرد وسیعتر و جامع بودن روش حوزه زمان، در این رساله نیز از آن استفاده شده و موج استوکس مرتبه دوم که برای آبهای عمیق و سکوهای دریایی کاربرد دارد اعمال شده است. در پدیده اندرکنش موج و سازه از دیدگاه سازه‌ای و طراحی آن، در مدلسازی حوزه سیال تنها به داشتن نتایج روی وجه مشترک سیال و سازه نیاز است تا بعنوان نیرو بر سازه اعمال شوند. دیگر شرایط مرزی سیال نیز در مزهای سطح آب، سطح کنترل و کف دریا قابل ارضاء هستند. در نتیجه لازم است که نتایج تحلیل حوزه سیال در هر گام زمانی را در مزهای سیال داشته باشیم. این ویژگی ذاتی مسئله، «روش المان مرزی» (BEM)^۵ را به ذهن متبار می‌کند.

همانطور که گفته شد، در روش حوزه زمان، «مزهای در هر

مسئله باید برای پتانسیل سرعت، Φ ، حل شود. در یک نقطه دلخواه سیال در لحظه t ، پتانسیل سرعت از دو مولفه تشکیل شده است. یکی ناشی از موج حتمی Φ^w و دیگری ناشی از موج پراکنده شده (متفرق شده) از سطح سازه Φ^s می‌باشد. آنگاه:

$$\Phi = \Phi^w + \Phi^s \quad (6)$$

که در آن Φ و Φ^w و Φ^s همگی توابعی از x و y و z و t می‌باشند. شرط مرزی اضافه در بینهایت مربوط به پتانسیل پراکنده، Φ^s ، می‌باشد. این شرط بیان می‌کند که پتانسیل پراکنده باید در فاصله دور از سازه ناپدید شود. عبارت دیگر، موج رفته باز نگردد. اگر R را عنوان شاعع فاصله از مرکز سازه در تمام جهات تعریف کیم، شرط تابش سامرفلد^۳ می‌گوید:

$$\lim_{R \rightarrow \infty} \sqrt{R} \left(\frac{\partial}{\partial R} \pm i\lambda \right) \Phi^s = 0 \quad (7)$$

که در آن $\lambda =$ مقدار ویژه و $i = \sqrt{-1}$ است. مسئله‌ای که در پاراگرافهای قبل تعریف شد، یک مسئله کامل مقدار مرزی است. خصوصاً بخاطر شرایط مرزی سطح، مسئله کاملاً غیرخطی بوده و لهذا حل کلی و بسته بجز برای برخی حالات محدود ممکن نیست. بنابراین، برای راحتی حل فرض می‌شود که Φ شکل سری توانی با توجه به پارامتر آشفتگی^۴، ϵ ، داشته باشد:

$$\Phi = \sum_{n=1}^{\infty} \epsilon^n \Phi_n \quad (8)$$

که در آن جمع تا اندیس n ، تئوری تا مرتبه n را نشان می‌دهد. پارامتر آشفتگی معمولاً بصورت زیر انتخاب می‌شود:

$$\epsilon = \frac{kH}{2} \quad (9)$$

که در آن $k =$ عدد موج و $H =$ ارتفاع موج است. نیمرخ سطح آب نیز بشكل سری نوشته خواهد شد.

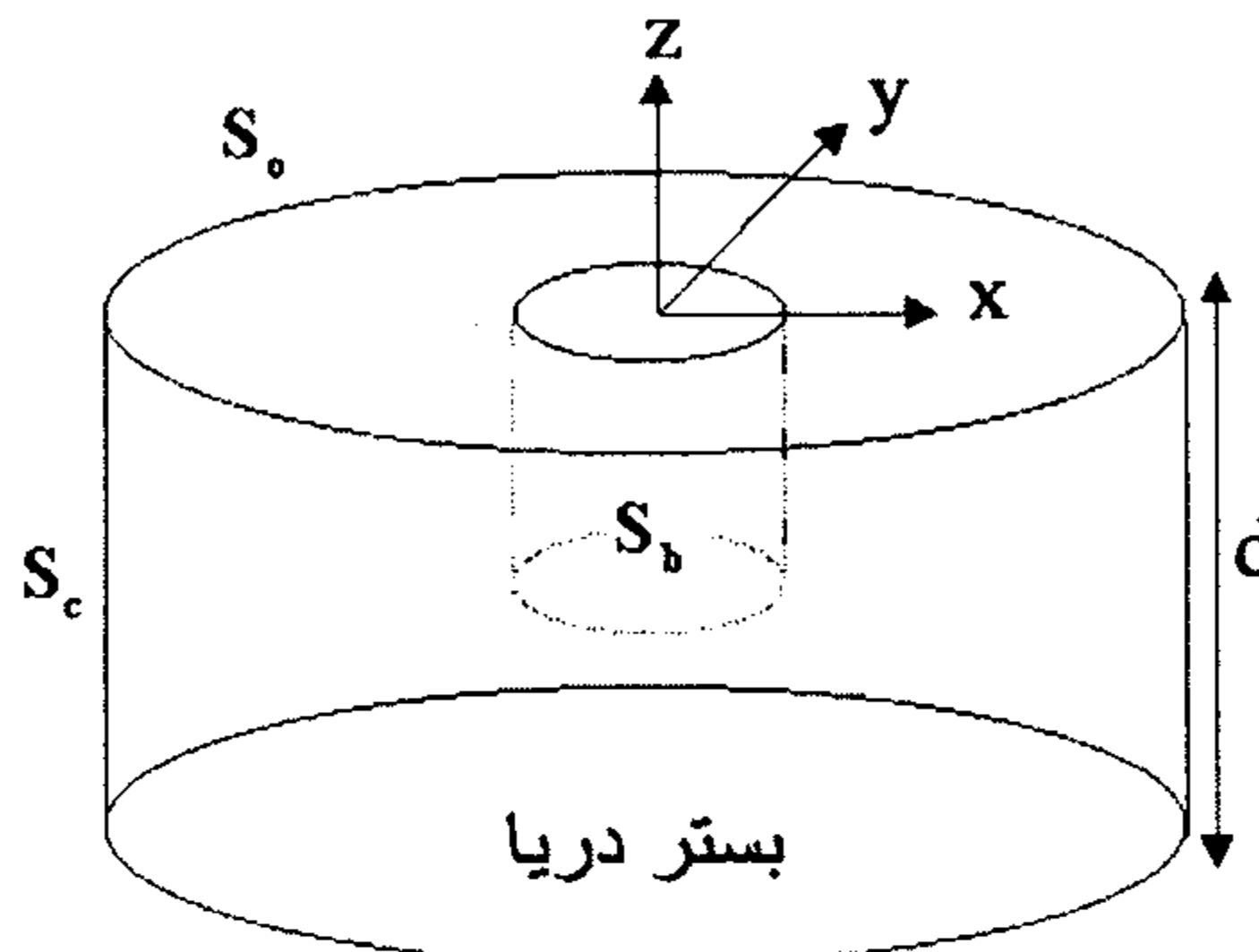
$$\eta = \sum_{n=1}^{\infty} \epsilon^n \eta_n \quad (10)$$

که در آن $\eta_1 =$ نیمرخ موج مرتبه اول خواهد بود و.... با جایگذاری این سریها در مسئله مقدار مرزی فوق، مسایل

نقطه ξ نسبت به بستر دریا باشد. بنابراین r_k بصورت زیر خواهد بود:

$$r_1 = [(\xi - x)^2 + (\psi - y)^2 + (\zeta - z)^2]^{0.5} \quad (14\text{ a})$$

$$r_2 = [(\xi - x)^2 + (\psi - y)^2 + (\zeta + 2d + z)^2]^{0.5} \quad (14\text{ b})$$



شکل ۲: نمایش مرزهای معادله لاپلاس تفرق.

با معلوم شدن پتانسیل پراکنده یا مشتق جهتی آن از شرایط مرزی در هر قسمتی از مرز، دیگر مجهولات باقیمانده معادله انتگرالی فوق (۱۲)، بكمک یک روند عددی بدست می‌آیند. در این روند، ابتدا مرزهای S_b و S_c و S_o را به تعداد محدودی سطح کوچک مثلثی تحت تجزیه می‌کنیم. آنگاه معادله انتگرالی شامل پتانسیل پراکنده Φ_k^s برای مرتبه k ام را بدون هیچ تقریبی می‌توان بصورت زیر نوشت:

$$\frac{1}{2} \Phi_k^s(x_i) = \sum_{j=1}^N \left[\int_{\Delta S_j} G(x_i, \xi_j) \frac{\partial \Phi_k^s(\xi_j)}{\partial n} ds(\xi_j) - \int_{\Delta S_j} \Phi_k^s(\xi_j) \frac{\partial G(x_i, \xi_j)}{\partial n} ds(\xi_j) \right] \quad i = 1, \dots, N \quad (15)$$

که در آن N = تعداد کل سطوح کوچک و ΔS_j = مساحت سطح j ام است.

با انتخاب «المان مثلثی ثابت»^۷، فرض می‌کنیم که مقادیر $\frac{\partial \Phi_k^s}{\partial n}$ و Φ_k^s متناظر هر المان، روی سطح آن ثابت بوده و در مرکز آن اعمال شود. بدین ترتیب دستگاه معادلات فوق بصورت مجموعه معادلات همزمان زیر ساده می‌شود:

$$\begin{aligned} \sum_{j=1}^{N_b} A_{ij} \Phi_{kj}^s + \sum_{j=N_b+1}^N B_{ij} \left(\frac{\partial \Phi_k^s}{\partial n} \right)_j &= - \sum_{j=1}^{N_b} B_{ij} \left(\frac{\partial \Phi_k^s}{\partial n} \right)_j - \\ \sum_{j=N_b+1}^N A_{ij} \Phi_{kj}^s & \quad i = 1, \dots, N \end{aligned} \quad (16)$$

لحظه متحرک بوده^۸ و لهذا اعمال روش المانهای مرزی منجر به حل دستگاه معادلات جبری می‌شود که در هر گام زمانی، ماتریس ضرایب آن بخاطر هندسه متغیر مرزها تغییر کرده و هر بار باید مجدداً حساب شود که نهایتاً به افزایش زمان لازم می‌انجامد. برای همین در این برنامه، آخرین پیشنهاد محققین نیز بکار گرفته شده [۶] تا با تمهداتی که بعداً به آن خواهیم پرداخت این معضل نیز حل گردد. در اینجا بطور خلاصه می‌توان گفت که با استفاده از روش آشفتگی، مسئله را به مرزهای ثابت در زمان تقلیل خواهیم داد تا تشکیل دستگاه معادلات ناشی از مجزا‌سازی رابطه انتگرالی روش المانهای مرزی، تنها یکبار بجای هر گام زمانی لازم شود.

حل معادله تفرق بكمک روش المان مرزی

مسئله مرتبه اول و دوم برای حوزه ثابت در زمان را می‌توان اینگونه تعریف کرد که بترتیب Φ_1^s و Φ_2^s ، معادله لاپلاس در داخل حوزه را ارضا کرده و همچنین مشروط به شرایط مرزی ناحیه نیز می‌باشند. تئوری گرین در روش المان مرزی، پتانسیل مرتبه k ام روی سطح حوزه را با معادله انتگرالی روی مرز که شاملتابع گرین، G ، می‌باشد بصورت زیر بیان می‌کند:

$$\frac{1}{2} \Phi_k^s(x) = \int_S \left[G(x, \xi) \frac{\partial \Phi_k^s(\xi)}{\partial n} - \Phi_k^s(\xi) \frac{\partial G(x, \xi)}{\partial n} \right] ds(\xi) \quad (12)$$

که در آن ξ نقطه‌ای با مختصات (ζ, ψ, ξ) بر روی مرز انتگرال گیری S بوده و n بردار عمود بر مرز بسمت خارج در نقطه ξ می‌باشد. در این بحث، سطح S مطابق شکل (۲) تشکیل شده است از: سطح جسم در زیر تراز آب ساکن S_b ، سطح آب ساکن S_o ، سطح کنترل S_c و بستر دریا.

البته با فرض بستر افقی دریا، می‌توان مرز بستر دریا را حذف کرده و تابع گرین را بصورتی درنظر گرفت که تقارن نسبت به کف دریا را شامل شود:

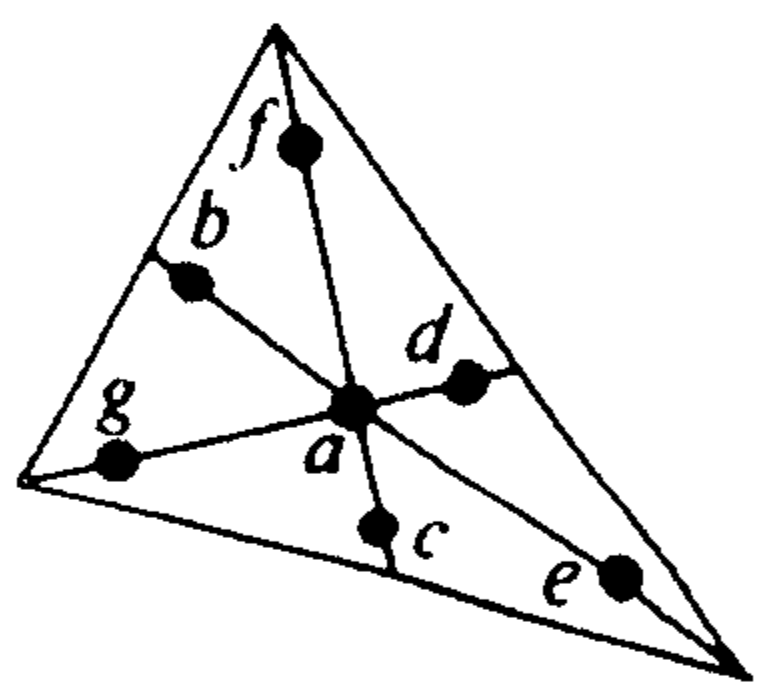
$$G(x, \xi) = \sum_{k=1}^2 \frac{1}{4\pi r_k} \quad (13)$$

که در آن r_k فاصله بین نقطه x و ξ_k می‌باشد. نقطه ξ_k بگونه‌ای تعریف می‌شود که $(\zeta, \psi, \xi) = \xi_1$ نقطه‌ای روی مرز S بوده و $(\zeta, \psi, -(\zeta + 2d)) = \xi_2$ تصویر

تحلیلی صفر بدهست می آید [۱۸] و لهذا k از ۲ شروع می شود.

برای انتگرال گیری عددی بر روی المان مثلثی، از هفت نقطه استفاده شد که دقت مرتبه پنج را داراست. بعارت دیگر خطای آن از مرتبه ششم است. شکل کلی نقاط انتگرال گیری و توابع وزنی مربوطه در شکل (۳) ارائه شده است [۲].

به این نکته مهم باید توجه داشت که ضرایب دستگاه معادلات همزمان فوق با گذشت زمان تغییر نخواهند کرد. بنابراین، در مقایسه با دیگر روش‌های مرسوم غیرخطی حوزه زمانی که در هر گام زمانی دستگاه معادلات جدیدی تشکیل شده و باید حل شود، در این روش، تنها یکبار به حل دستگاه معادلات همزمان نیازمی‌باشد. چراکه ماتریس ضرایب، تنها تابعی از هندسه است که آنرا هم با تمهدیات آتی از زمان مستقل کرده‌ایم. بعلاوه، این ویژگی، استفاده از یک دستگاه معادلات برای امواج حتمی متفاوت را تنها با تغییر در بردار ورودی سمت راست رابطه (۱۶) ممکن می‌سازد. بردار ورودی سمت راست رابطه (۱۶) تشکیل شده است از مشتق جهتی پتانسیل پراکنده روی سطح جسم که بصورت صریح از پتانسیل حتمی بدست می‌آید و همچنین پتانسیل پراکنده روی سطح کنترل و سطح آب ساکن که باید بكمک شرایط مرزی حاکم، در طول گامهای زمانی حساب شوند.



نقطه	محصصات مثلثی			تابع وزنی
a	1/3	1/3	1/3	0.225
b	α_1	β_1	β_1	0.13239415
c	β_1	α_1	β_1	0.13239415
d	β_1	β_1	α_1	0.13239415
e	α_2	β_2	β_2	0.12593918
f	β_2	α_2	β_2	0.12593918
g	β_2	β_2	α_2	0.12593918
$\alpha_1 = 0.05971587$	$\alpha_2 = 0.79742699$			
$\beta_1 = 0.47014206$	$\beta_2 = 0.10128651$			

شکل ۳: مشخصات انتگرال گیری عددی بر روی المان مثلثی.

که در آن N_b برابر تعداد المانهای روی S_b می‌باشد. باید توجه داشت که با افزایش j از ۱ تا N ، با سطوح، بترتیب S_b , S_c , S_b رفتار خواهد شد. یعنی ابتدا المانهای روی سطح جسم، آنگاه المانهای سطح آب ساکن، المانهای سطح کنترل و در صورت وجود، المانهای بستر دریا.

ضرایب A_{ij} و B_{ij} بترتیب عبارتند از انتگرال تابع گرین و مشتق جهتی آن بر روی المان Zam وقتیکه نقطه منبع در مرکز المان Zam قرار دارد. اگر $j = i$ باشد انتگرال‌ها در یک نقطه از سطح المان منفرد خواهند شد. کلیه انتگرال گیریها بر روی سطح المانهای مثلثی به روش عددی «گوس» انجام می‌شود. ضرایب A_{ij} و B_{ij} عبارت خواهند بود از:

$$A_{ij} = \int_{\Delta S_j} \frac{\partial G(x_i, \xi_j)}{\partial n} ds(\xi) = \sum_{k=1}^2 \sum_{m=1}^M A_j W_m \frac{(\xi_{km} - x_i) \cdot n_k}{4\pi r_{km}^3} \quad i \neq j \quad (17\text{ الف})$$

$$A_{ij} = -\frac{1}{2} + \int_{\Delta S_j} \frac{\partial G(x_i, \xi_j)}{\partial n} ds(\xi) = -\frac{1}{2} + \sum_{k=2}^2 \sum_{m=1}^M A_j W_m \frac{(\xi_{km} - x_i) \cdot n_k}{4\pi r_{km}^3} \quad i = j \quad (17\text{ ب})$$

$$B_{ij} = \int_{\Delta S_j} G(x_i, \xi_j) ds(\xi) = \sum_{k=1}^2 \sum_{m=1}^M A_j W_m \frac{1}{4\pi r_{km}} \quad i \neq j \quad (17\text{ ج})$$

$$B_{ij} = \int_{\Delta S_j} G(x_i, \xi_j) ds(\xi) = T_j + \sum_{k=2}^2 \sum_{m=1}^M A_j W_m \frac{1}{4\pi r_{km}} \quad i = j \quad (17\text{ د})$$

که در آن M ، اندیس نقطه انتگرال گیری گوس در k امین تصویر المان Zam است. M نیز تعداد نقاط انتگرال گیری گوس در یک المان مثلثی و W_m تابع وزنی در هر نقطه گوس می‌باشد. A_j مساحت المان Zam بوده که انتگرال گیری بر روی آن انجام می‌شود. n_k بردار عمود بر سطح تصویر k ام المان Zam است، در حالیکه $(x_i - \xi_{km})$ برابر برداری است که از مرکز المان i ام به m امین نقطه گوس در k امین تصویر المان Zam متصل شود. r_{km} نیز طول همین بردار می‌باشد. همچنین متغیر T_j ، انتگرال منفرد تابع گرین بر روی سطح المان Zam است وقتیکه $j = i$ و $k = 1$ باشد. لازم به ذکر است که انتگرال منفرد رابطه (۱۷ب) وقتیکه $k = 1$ باشد بصورت

مرتبه k ام، بهمان صورت رابطه (۷) بیان می‌شود که باید در فاصله بینهایت دور از سازه ارضا شود. در رابطه (۷)، C سرعت موج پراکنده و S فاصله شعاعی از سازه می‌باشد. اولسنکی در سال ۱۹۷۶ این شرط را بگونه‌ای اصلاح کرد که بتوان بر روی سطح کنترل S_c در فاصله محدود از سازه اعمال کرد. بدین ترتیب، دیگر به جمله \sqrt{r} نیازی نبوده و این شرط در جهت عمود بر سطح کنترل اعمال می‌شود:

$$\frac{\partial \Phi_k^s}{\partial t} + C_n \frac{\partial \Phi_k^s}{\partial n} = 0 \quad \text{بر روی } S_c \quad (21)$$

که در آن C_n سرعت وابسته به زمان موج پراکنده بر روی سطح کنترل S_c و در جهت قائم n می‌باشد. در پایان هر گام زمانی از رابطه فوق، مجھول $\frac{\partial \Phi_k^s}{\partial t}$ حساب شده و

بكمک برونيابی زمانی، Φ_k^s در گام زمانی بعد بدست می‌آید.

رابطه غیرخطی (۲) و (۳) بترتیب مربوط به شرایط مرزی دینامیکی و سینماتیکی سطح آزاد آب (S_f) هستند. از جمله مشکلات مسئله تفرق، اعمال این دو شرط غیرخطی بر روی سطح آزاد آب است که خود تابعی از زمان بوده و از جمله مجھولات می‌باشد. این باعث می‌شود که در روش المانهای مرزی، بخشی از مرز را متغیر با زمان فرض کرده و از روش «مرزهای متحرک»^۸ استفاده کنیم. حال اگر بتوانیم با اعمال تمهداتی، مرز متغیر با زمان سطح آزاد آب را به سطح ثابت آب ساکن کاهش دهیم، تنها یکبار نیاز به تشکیل ماتریسهای ضرایب و حل آنها خواهد بود که سبب تسهیل فوق العاده برنامه می‌شود.

اگر عمق آب در مقایسه با طول موج، کم نبوده و ارتفاع موج نیز در حد معمول و متوسط باشد، مطابق پیشنهاد پروفسور چاکرابارتی [۶] برای حل تحلیلی مسئله تفرق حول استوانه قائم، این امکان وجود دارد که دو شرط غیرخطی سطح آزاد آب را به کمک «بسط سری تیلور»^۹ حول تراز آب ساکن به شرایطی بر روی سطح آب ساکن کاهش داد:

$$\left(\frac{\partial \Phi}{\partial z} - \frac{\partial \eta}{\partial t} - \frac{\partial \Phi}{\partial x} \frac{\partial \eta}{\partial x} - \frac{\partial \Phi}{\partial y} \frac{\partial \eta}{\partial y} \right)_{z=0} + \eta \frac{\partial}{\partial z} \left(\frac{\partial \Phi}{\partial z} - \frac{\partial \eta}{\partial t} - \frac{\partial \Phi}{\partial x} \frac{\partial \eta}{\partial x} - \frac{\partial \Phi}{\partial y} \frac{\partial \eta}{\partial y} \right)_{z=0} + \dots = 0 \quad (22)$$

اگرچه شرایط مرزی را بعداً بررسی خواهیم کرد لکن در اینجا به اختصار می‌توان گفت که معلومات و مجھولات مسئله در هر قسمت از مرز بدین شرح است:

- ﴿ در روی سطح جسم و بستر دریا: پتانسیل پراکنده، مجھول و مشتق جهتی آن از شرایط مرزی، معلوم می‌باشد.
- ﴿ در سطح آب ساکن و سطح کنترل: مشتق جهتی پتانسیل پراکنده، مجھول و خود پتانسیل پراکنده از شرایط مرزی، معلوم می‌باشد.

با نگاه مجدد به رابطه اصلی (۱۶) می‌توان براحتی فهمید که سمت راست رابطه، بردار ورودی معلومات بوده و سمت چپ رابطه فوق، حاصل ضرب ماتریس ضرایب در بردار مجھولات است برای درک راحت‌تر این مسئله، صورت ماتریسی این دستگاه معادلات را می‌توان در شکل (۴) مشاهده کرد.

بسط شرایط مرزی

چون هدف، بررسی تفرق امواج ناشی از موانع عریض در آبهای عمیق می‌باشد مانند سکوهای دریایی و نه در آبهای کم عمق مانند موج شکنها، امواج غیرخطی استوکس بعنوان موج حتمی و تابیده انتخاب شدند.

$$\begin{bmatrix} 1 & N_s & N_s+1 & N \\ N_s & | & | & | \\ | & A_{ij} & | & B_{ij} \\ N_s+1 & | & | & | \\ | & | & | & | \\ N & | & | & | \end{bmatrix} \begin{pmatrix} (\Phi_k^s)_j \\ --- \\ (\frac{\partial \Phi_k^s}{\partial n})_j \\ (\frac{\partial \Phi_k^s}{\partial t})_j \end{pmatrix} = - \begin{bmatrix} 1 & | & | & | \\ | & B_{ij} & | & A_{ij} \\ | & | & | & | \\ | & | & | & | \\ | & | & | & | \end{bmatrix} \begin{pmatrix} (\frac{\partial \Phi_k^s}{\partial n})_j \\ --- \\ (\Phi_k^s)_j \end{pmatrix}$$

شکل ۴: نمایش ماتریسی دستگاه معادلات.

در ادامه، برای هماهنگی با روش استوکس، مولفه مراتب مختلف را با تعریف بسط آشفتگی برای Φ و η و همچنین تعریف مولفه حتمی و پراکنده، جدا خواهیم کرد:

$$\Phi = \epsilon(\Phi_1^w + \Phi_1^s) + \epsilon^2(\Phi_2^w + \Phi_2^s) + \dots \quad (18)$$

$$\eta = \epsilon(\eta_1^w + \eta_1^s) + \epsilon^2(\eta_2^w + \eta_2^s) + \dots \quad (19)$$

اگر رابطه (۱۸) را در شرط مرزی جسم یعنی معادله (۵) جایگذاری کنیم، برای مرتبه k حل خواهیم داشت:

$$\frac{\partial \Phi_k^s}{\partial n} = - \frac{\partial \Phi_k^w}{\partial n} \quad \text{بر روی } S_b \quad (20)$$

شرط مرزی سامرفلد در حوزه زمان برای پتانسیل پراکنده

بدست می آیند:

$$f_1'' = -g \frac{\partial \Phi_1}{\partial z}$$

(۲۷) الف

$$\begin{aligned} f_2'' = & -\frac{\partial \Phi_1}{\partial x} \frac{\partial^2 \Phi_1}{\partial x \partial t} - \frac{\partial \Phi_1}{\partial y} \frac{\partial^2 \Phi_1}{\partial y \partial t} - \frac{\partial \Phi_1}{\partial z} \frac{\partial^2 \Phi_1}{\partial z \partial t} - \eta_1 \frac{\partial^3 \Phi_1}{\partial z \partial t^2} - \\ & \frac{\partial^2 \Phi_1}{\partial z \partial t} \frac{\partial \eta_1}{\partial t} + g \left(\frac{\partial \Phi_1}{\partial x} \frac{\partial \eta_1}{\partial x} + \frac{\partial \Phi_1}{\partial y} \frac{\partial \eta_1}{\partial y} - \eta_1 \frac{\partial^2 \Phi_1}{\partial z^2} - \frac{\partial \Phi_2}{\partial z} \right) \end{aligned}$$

(۲۷) ب

بدین ترتیب در هر گام زمانی، برای حل مرتبه k ام با معلوم بودن حل مراتب قبل، مجھول $\frac{\partial^2 \Phi_k^s}{\partial t^2}$ بر روی سطح آب ساکن مشخص شده و به کمک برونویابی زمانی، Φ_k^s در گام زمانی بعد تعیین می شود.

تعیین نیمرخ سطح آب

در یک گام زمانی و بعد از حل مرتبه k ام، با معلوم

بودن Φ_k^s و $\frac{\partial \Phi_k^s}{\partial n}$ در کلیه مرزها و از جمله سطح آب ساکن، مجدداً به شرط مرزی دینامیکی سطح آب (۲۵) مراجعه کرده و از آن نیمرخ موج پراکنده مربوط به مرتبه k ام یعنی η_k^s را استخراج می کنیم:

$$\eta_k^s = -\eta_k^w - \frac{1}{g} \frac{\partial \phi_1}{\partial t}$$

(۲۸) الف

$$\eta_k^s = -\eta_k^w - \frac{1}{g} \left[\frac{\partial \phi_1}{\partial t} + \frac{1}{2} |\nabla \phi_1|^2 + \eta_1 \frac{\partial^2 \phi_1}{\partial z \partial t} \right]$$

(۲۸) ب

تعیین فشار و نیروی وارد بر سازه

در هر گام زمانی، مسئله مقدار مرزی مرتبه اول و دوم و ... بترتیب برای Φ_1 و Φ_2 و ... حل می شود. آنگاه که Φ_1 و Φ_2 و ... و در نتیجه Φ معلوم شد، می توان فشار را بر روی سطح جسم و یا در هر نقطه ای داخل حوزه سیال حساب کرد. فشار کلی سیال از دو بخش استاتیکی و دینامیکی تشکیل شده است که بخش استاتیکی ناشی از آب ساکن و فشار دینامیکی ناشی از وجود موج و حرکت ذرات آب است. بخش استاتیکی فشار سیال را که با P_0 نمایش می دهیم بصورت زیر می باشد:

$$P_0 = -\rho g z$$

(۲۹)

$$\begin{aligned} & \left(\frac{\partial \Phi}{\partial t} + g \eta + \frac{1}{2} |\nabla \Phi|^2 \right)_{z=0} + \\ & \eta \frac{\partial}{\partial z} \left(\frac{\partial \Phi}{\partial t} + g \eta + \frac{1}{2} |\nabla \Phi|^2 \right)_{z=0} + \dots = 0 \end{aligned}$$

(۲۳)

بدین ترتیب مسئله غیرخطی تفرق برای هندسه مستقل از زمان تعریف می شود که بجای سطح آزاد و لحظه ای آب (S_f)، شامل سطح آب ساکن (S_0) می باشد (شکل ۲).

مطابق توضیحات قبل، برای هماهنگی با روش استوکس، با تعریف بسط آشفتگی برای Φ و η و همچنین تعریف مولفه حتمی و پراکنده طبق روابط (۱۸) و (۱۹)، مولفه های مراتب مختلف را جدا خواهیم کرد. با جایگذاری سریهای توانی (۱۸) و (۱۹) بجای Φ و η در شرایط مرزی بسط داده شده (۲۲) و (۲۳) و جدا کردن ضرایب توانهای مختلف ϵ مطابق روش آشفتگی، شرایط مرزی حاکم بر سطح آب ساکن برای هر مرتبه حل بدست خواهد آمد. به کمک نرم افزار Mathematica عملیات جبری بسط و جایگذاریهای فوق را انجام داده و خواهیم داشت:

$$\frac{\partial \Phi_k^s}{\partial z} - \frac{\partial \eta_k^s}{\partial t} = f_k'$$

(۲۴)

$$\frac{\partial \Phi_k^s}{\partial t} + g \eta_k^s = f_k''$$

(۲۵)

f_k' و f_k'' جملات نیرویی برای مراتب مختلف هستند که برای اختصار از ذکر آنها صرف نظر کرده و در ادامه نتیجه نهایی را بیان خواهیم کرد. تا اینجا مطابق روابط (۲۴) و (۲۵)، دو شرط مرزی سطح آب را برای هر مرتبه استخراج کرده ایم. لکن این روابط در برگیرنده هر دو مجھول Φ_k^s و η_k^s می باشند. هدف از حل ارائه شده در این رساله برای تفرق و اندرکنش امواج با موانع، دیدگاه سازه ای و پیشنهاد روشی برای ارزیابی نیروی وارد بر سازه هاست و در نتیجه نیمرخ سطح آب بعد از تفرق، بعنوان یک خروجی جنبی تلقی می شود. بهمین جهت، مجھول اصلی در حل اجزای مرزی مسئله تفرق، پتانسیل پراکنده Φ_k^s می باشد. لهذا، دو شرط مرزی فوق را در هر مرتبه با هم ترکیب می کنیم تا مجھول جنبی η_k^s حذف شود.

$$\frac{\partial^2 \Phi_k^s}{\partial t^2} = -\frac{\partial^2 \Phi_k^w}{\partial t^2} + f_k''$$

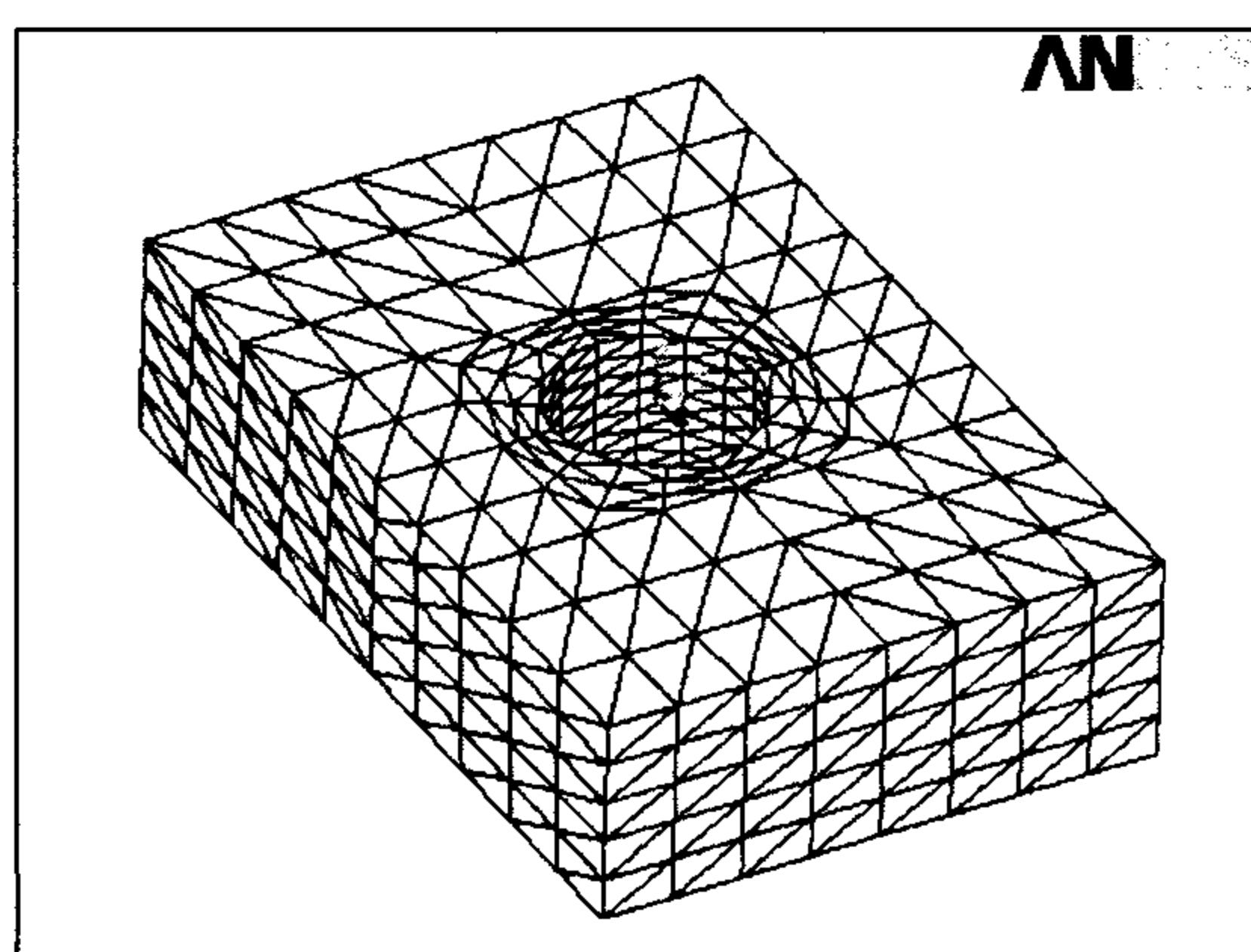
(۲۶)

که در آن جملات نیرویی f_k'' برای هر مرتبه از روابط زیر

است. بطور مثال انتگرال‌گیری نیروی مرتبه اول تا تراز آب آزاد مرتبه صفر یعنی تراز آب ساکن انجام می‌شود، در حالیکه نیروی مرتبه دوم را برای بخش مستغرق سازه در زیر تراز آب مرتبه اول حساب می‌کنیم. برای اعمال اثر سطح آزاد آب در بالای تراز آب ساکن، از روش خطی استفاده کرده و لهذا در انتگرال‌گیریهای روابط (۳۶)، سطح انتگرال‌گیری به S_b تبدیل شده و نیروهای ناشی از اثر سطح آزاد آب را برای هر مرتبه حساب کرده و با نیروهای ناشی از روابط (۳۶) جمع می‌کنیم. لازم به ذکر است که اعمال اثر سطح آزاد آب هر مرتبه حل، منوط به شرط مثبت بودن نیمرخ سطح آب می‌باشد.

نرم افزار تفرق^{۱۰}

چارچوب کلی اجرای برنامه از سه قسمت تشکیل شده است: پیش پردازش، پردازش، پس پردازش. در بخش پیش پردازش، اطلاعات لازم مربوط به هر مسئله با ابعاد و شرایط خاص را جمع آوری کرده، هندسه مسئله را با نرم افزار ANSYS مدلسازی کرده (شکل ۵) و کلیه داده‌های مورد نیاز برنامه را با آرایش خاص لازم در نرم افزار، در یک فایل ورودی گردhem می‌آوریم. بدین ترتیب، ماحصل بخش پیش پردازش، یک فایل ورودی می‌باشد که برنامه، اطلاعات مربوط به هر مسئله را از آن می‌گیرد. نکته حائز اهمیّت آنست که اگرچه بكمک نرم افزار ANSYS مشکل المان‌بندی حل شد لکن از آنجا که در حین کار با این نرم افزار مجبوریم مدل را تکه تکه المان‌بندی کنیم، ممکن است در نهایت برای مسایل متقارن، المان‌بندی متقارنی حاصل نشود و این طبعاً باعث خواهد شد که نتایج نیز دقیقاً متقارن نبوده و تا حدودی دچار تغییر شود که باید به علت آن توجه داشت.



شکل ۵: نمونه المان‌بندی مرزها با Ansys

که در آن ρ چگالی جرمی آب و g شتاب جاذبه زمین است. علامت منها نیز ناشی از جهت محور Z می‌باشد که مطابق شکل (۲) قرار دارد. توزیع بخش دینامیکی فشار سیال را می‌توان از رابطه برنولی بدست آورد:

$$P = -\rho \frac{\partial \Phi}{\partial t} - \frac{1}{2} \rho |\nabla \Phi|^2 \quad (30)$$

فشار دینامیکی را نیز می‌توان مشابه Φ و η با توجه به پارامتر آشفتگی، ϵ ، بصورت سری توانی نوشت:

$$P = \sum_{n=1}^{\infty} \epsilon^n P_n \quad (31)$$

با جایگذاری Φ از رابطه (۸) در رابطه (۳۰) و تساوی حاصل با رابطه (۳۱)، جملات مختلف فشار دینامیکی برای مراتب گوناگون بدست می‌آیند. به محض مشخص شدن فشار بر روی سطح جسم، نیرو و لنگرهای وارد از موج بر سازه با انتگرال‌گیری مولفه فشار در جهت موردنظر، بر روی ناحیه خیس شده از سطح جسم (S_w) بدست می‌آیند:

$$F = \int_{S_w} P \cdot n' ds \quad (32)$$

که در آن:

$$F = (F_x, F_y, F_z, M_x, M_y, M_z) \quad (33)$$

$$n' = (n_x, n_y, n_z, y n_z - z n_y, z n_x - x n_z, x n_y - y n_x) \quad (34)$$

بدین ترتیب در مسئله تفرق، با توجه به روابط فوق، نیروی کل وارد بر مانع و در نتیجه هر یک از مولفه‌های آن، خود از جمع مولفه‌های مراتب مختلف تشکیل شده‌اند:

$$F = F_0 + F_1 + F_2 + F_3 + \dots \quad (35)$$

که در آن:

$$F_0 = -\rho g \int_{S_b} z n' ds \quad (36 \text{ الف})$$

$$F_1 = -\rho \int_{S_b} \frac{\partial \Phi_1}{\partial t} n' ds \quad (36 \text{ ب})$$

$$F_2 = -\rho \int_{S_b} \left[\frac{\partial \Phi_2}{\partial t} + \frac{1}{2} |\nabla \Phi_1|^2 \right] n' ds \quad (36 \text{ ج})$$

باید به این نکته توجه داشت که در حل تحلیلی، محدوده‌های انتگرال‌گیری برای نیروی هر مرتبه متفاوت

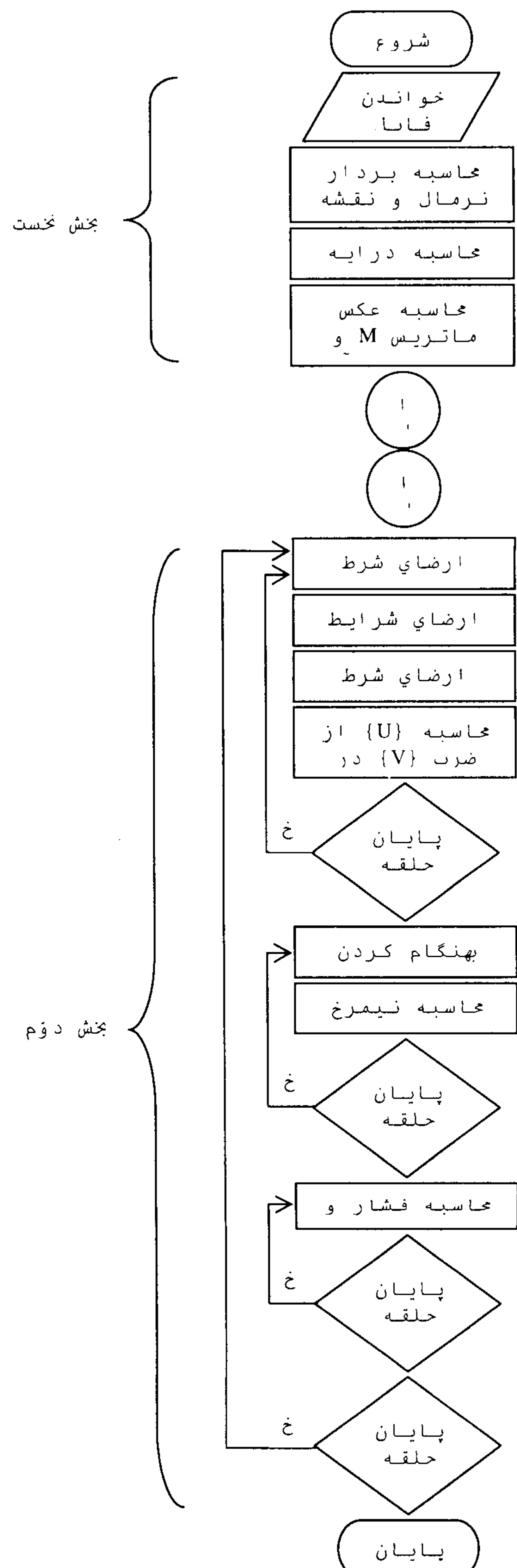
است انجام داده و نتایج بدست آمده را در فایل های خروجی دسته بندی کرده و با آرایش خاص خود درج می کند. بدین ترتیب، حاصل این بخش، فایل های خروجی نتایج می باشد. در ادامه خلاصه الگوریتم برنامه جهت آشنایی با نحوه عملکرد روابط تئوری ذکر شده ارائه می گردد. سپس برای تجزیه و تحلیل و همچنین نمایش گرافیکی نتایج، به بخش پس پردازش نیاز است.

نتایج نیروها و لنگرها

در این بخش به بررسی نتایج برنامه برای مدل های مختلف و تحلیل و تفسیر آنها خواهیم پرداخت. برای اطمینان از صحیت نتایج، آنها را با دستاوردهای دیگر محققین نیز مقایسه خواهیم کرد. بهمین منظور، استوانه مدور قائمی را که از بستر دریا تا سطح آب امتداد یافته بعنوان معیار انتخاب کرده و در معرض امواج قرار می دهیم. برای چنین هندسه ای، همه نیروها و لنگرها بجز F_x و M_y صفر خواهند بود. محاسبات بر روی کامپیوتر PentiumII، 300HZ انجام شده و در سرتاسر برنامه از دقت مضاعف استفاده شده است. بمنظور ارزیابی بهتر حوزه صحیت نتایج برنامه، مدل های متعددی از جمله دوازده استوانه قائم با نسبت ka متفاوت اجرا شده اند که در آن k عدد موج و a شعاع استوانه می باشد. تعداد المانها برای کلیه مدل ها ثابت و برابر 90^4 انتخاب شدند تا امکان مقایسه بهتر مدل ها فراهم شده و بعلاوه از آنجا که افزایش تعداد المانها با افزایش مستقیم ابعاد ماتریس های ضرایب و در نتیجه رشد تصاعدی زمان اجرای برنامه همراه است، انتخاب المانها بیشتر موجب کندی روند ارزیابی و مانع بررسی مدل های متعدد می باشد.

با بررسی نمودارهای توسعه نیرو در طول زمان با تداوم حدود سه پریود موج، می توان دامنه پایدار نیروها و لنگرها را بدست آورد. با اجرای ۱۲ مدل برای شرایط موج و سازه متفاوت و البته با نسبت های پایه ای مانند L و H/L و d/a ثابت و تعداد المانها برابر، می توان دامنه پایدار نیروها و لنگرها را بر اساس یک متغیر بدست آورد.

شکل (۶) دامنه حداکثر نیرو و لنگر تا مرتبه اوّل F_1 و M_1 و تا مرتبه دوم F_2 و M_2 رابعنوان تابعی از ka برای $d/a = 2$ و $H/L = 0.1$ نشان می دهد. همه نیروها



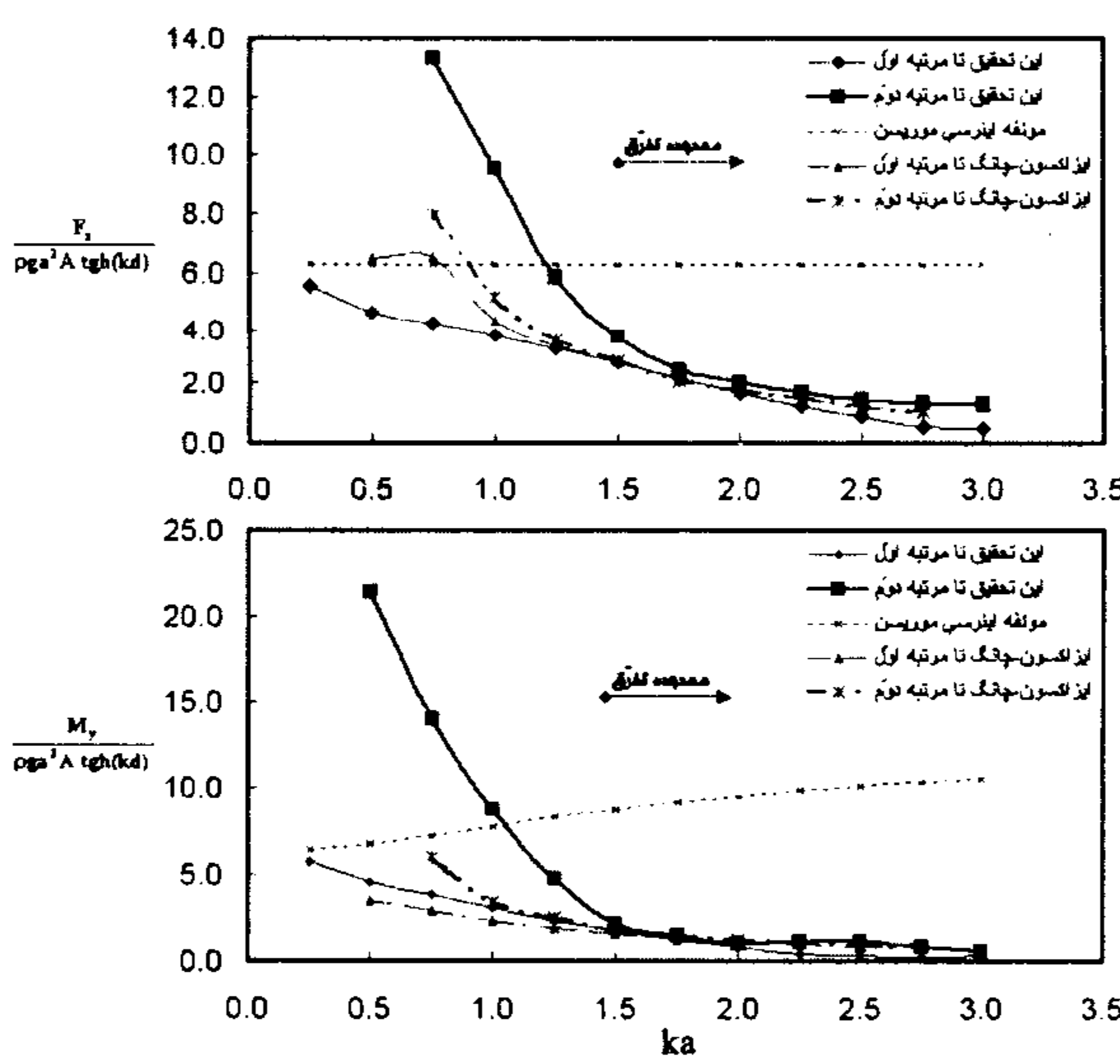
در بخش پردازش، برنامه تفرق با همه سابروتینهای و توابع خود اجرا شده، اطلاعات را از فایل ورودی خوانده، پردازش های لازم را که نتیجه بخش های تئوری مطالب قبل

محدوده سازه‌های لاغر و حجیم از اهمیت زیادی برخوردار است لکن هرچه از محدوده تفرق ($ka > 1.5$) یا ($D/L > 0.5$) بسمت محدوده سازه‌های لاغر و رابطه موریسن پیش می‌رویم بر نقش آن افزوده می‌شود.

مقایسه نتایج با کارهای ایزاکسون و چانگ، سازگاری خوبی را در محدوده تفرق ($ka > 1.5$) که هدف این رساله نیز هست نشان می‌دهد. بدین ترتیب می‌توان از صحت روش و الگوریتم و در نهایت، عملکرد برنامه مطمئن بود. بمنظور بررسی دقّت برنامه در خارج از محدوده اولیه موردنظر، سازه‌های لاغری نیز مدل شدند که در طراحی عملی آنها از روابط موریسن استفاده می‌شود. با کاهش ka و لاغرتر شدن سازه‌ها، اختلافی بین نتایج و کارهای دیگران ظاهر می‌شود. علت اولیه این پدیده، حساس بودن راه حل به نحوه المان‌بندی است. وقتی سازه لاغر می‌شود، قطر آن کاهش یافته و در نتیجه سطح آن کم می‌شود. پس برای رعایت نسبت ابعاد المانها در کل حوزه، باید از تعداد المان‌های بر روی سطح جسم کاسته شود. لیکن از آنجا که هدف این بررسیها محدوده تفرق می‌باشد، تعداد المان‌های روی مرز و در نتیجه کل المانها ثابت گرفته شده تا اثر المان‌بندی بر مقایسه‌ها حذف شود. این باعث کوچک شدن ابعاد المان‌های روی سطح سازه‌های لاغر شده و خطای افزایش می‌دهد.

از بررسیهای انجام شده بدست آمد که برای یک استوانه، با کاهش عمق دریا از میزان همگرایی و دقّت نتایج کاسته می‌شود. بعبارت دیگر در محدوده آبهای کم عمق که نسبت d/L کاهش می‌یابد، جوابها در گامهای زمانی متواتی واگرا خواهند بود. علت این امر، نقض فرض اولیه برای بسط تیلور شرایط مرزی سطح آب است که فرض شده بود عمق آب در مقایسه با طول موج، کوچک نبوده ($d/L \geq 1$) و ارتفاع موج متوسط باشد. از آنجا که طول موج برای همه مدل‌های استوانه ثابت گرفته شد، با توجه به ka ثابت بودن نسبت $d/a = 2$ برای مدل‌ها، با کاهش ka عمق کاهش یافته و در نتیجه در محدوده سازه‌های لاغر، فرض اولیه شدیداً نقض می‌شود. بعلاوه، باید به این نکته توجه داشت که برای نسبت ثابت d/a با کاهش ka کم می‌شود و در نتیجه وقتی ka به سمت صفر میل می‌کند، روش «بسط آشفتگی»^{۱۱} به حد خود نزدیک شده و حل مرتبه دوم دیگر معتبر نخواهد بود. با این وجود، نتایج بدست آمده در نواحی مرز تفرق ($ka > 1.5$) که

و لنگرها مشابه مولفه اینترسی موریسن که در آبهای عمیق غالب است بی بعد شده‌اند. همچنین برای اطمینان از صحّت برنامه، نتایج تحقیقات ایزاکسون و چانگ (۱۹۹۲) نیز با عنوان معیار رسم شده‌اند که در ادبیات فنی، دقّت خود این تحقیقات با مقایسه نتایج آزمایشگاهی تایید شده است. بعلاوه، اگرچه هدف از این رساله، پدیده تفرق و نیروهای وارد بر سازه‌های حجیم می‌باشد، لکن مدل‌هایی نیز از محدوده موریسن اجرا شده که بهمین دلیل، نتایج رابطه موریسن با موج خطی ایری نیز در این شکل رسم شده است. همانطور که از نمودارها مشخص است رابطه موریسن در محدوده تفرق کاربردی نبوده و لهذا از آن در طراحی سازه‌های حجیم نمی‌توان استفاده کرد که این حاکی از اهمیت دوچندان بررسی پدیده تفرق می‌باشد.

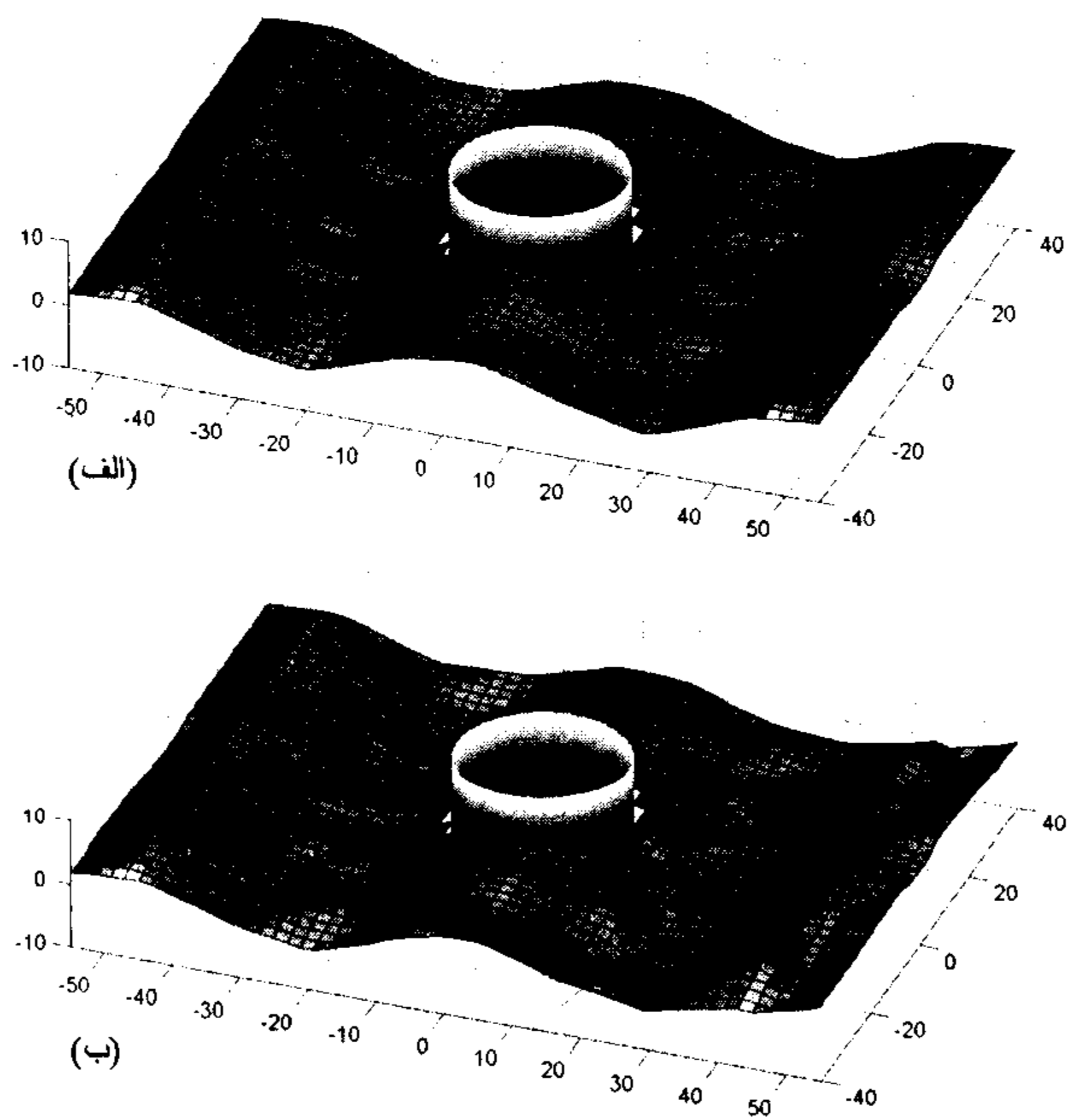


شکل ۶: نیرو و لنگر موج بصورت تابعی از ka برای 2 $d/a = H/L = 0.1$.

برای مقادیر کوچک ka ، مولفه مرتبه دوم نیرو با مولفه مرتبه اول F_1 ، هم فاز بوده و در نتیجه با جمع آنها، مقادیر نسبتاً بزرگی برای نیرو و لنگر تا مرتبه دوم بدست می‌آید. از طرف دیگر، هر چه بسمت محدوده تفرق و بزرگ شدن ka پیش می‌رویم، مولفه‌های مرتبه اول و دوم اختلاف فاز پیدا می‌کنند و در نتیجه نیروی نهایی تا مرتبه دوم، کاهش پیدا می‌کند. بدین ترتیب مشاهده می‌شود که مولفه مرتبه دوم نقش مهمی در تعیین دامنه و فاز نیروی نهایی تا مرتبه دوم دارد و البته با افزایش نسبت ka یا بعبارت دیگر نسبت قطر مانع به طول موج، از میزان آن کاسته می‌شود. به بیان دیگر، اگرچه مولفه مرتبه دوم در هر دو

نیمرخ سطح آب

حال، به بررسی نیمرخ کلی سطح آب در حین تفرق می پردازیم. بعنوان نمونه، برای مدل $ka = 1.57$ و $H/L = 0.04$ و $kd = 3.14$ در شرایط مرزی سطح آب در مرکز هر المان واقع روی سطح تا مرتبه اول و دوم می باشند بعنوان ورودی به برنامه MATLAB منتقل می شوند. هدف از این کار، درون یابی مقادیر برای نقاط واقع در یک شبکه و رسم نیمرخ سطح آب در هر گام زمانی می باشد. آنگاه با توالی تصاویر مربوط به چند پریود، نمایش متحرک برخورد موج به سازه و تفرق آن بدست می آید. در شکل (۷)، دو تصویر انتخاب شده اند که برای وضوح بیشتر، مقیاس جهت Z افزایش یافته است. این شکل، نیمرخ سطح آب تا مرتبه اول و دوم را نشان می دهد. در تصاویر، موج حتمی از سمت چپ به راست و در جهت مثبت X منتشر می شود در حالیکه موج پراکنده، به صورت مرکزی از استوانه ساطع می شود و دامنه آن با افزایش فاصله از مانع، کاهش می یابد.



شکل ۷: نمایی از موج متفرق شده در لحظه $t/T = 2.0$
 $H/L = 0.04$ ، $kd = 3.14$ ، $ka = 1.57$
 (الف) تا مرتبه اول؛ (ب) تا مرتبه دوم.

در بالادست استوانه، موج پراکنده و حتمی در جهت مخالف هم حرکت می کنند و می توانند تا حدودی امواج ایستا را در جلوی مانع ایجاد کنند. در دو طرف استوانه، موج پراکنده عمود بر موج حتمی منتشر شده که در نهایت امواج نسبتاً پیچیده ای را ایجاد می کنند.

فرض اولیه هنوز نقض می شود ($d/L \geq 0.47$) دقیق و مطلوب بوده و این حاکی از توانایی بالای برنامه و الگوریتم قوی آن می باشد.

در بررسی های بعمل آمده، مشخص شد که حل مرتبه دوم نسبت به جمله $\partial^2 \Phi_k^s / \partial z^2$ در شرایط مرزی سطح آب حساس می باشد. این جمله که از بسط تیلور شرایط مرزی سطح آب حول تراز آب ساکن حاصل شده، باید بصورت عددی حساب شود. از آنجا که در نسخه فعلی برنامه، از روش تفاضل محدود در مشتق گیری مکانی استفاده شده است، می توان انتظار داشت که پایداری حل به نحوه المان بندی مربوط باشد. همچنین با تبدیل المان مثلثی ثابت به المان چهار ضلعی مرتبه دوم در نگارشهای آتی برنامه، اگرچه بر حجم عملیات و پیچیدگی روابط و محاسبات افزوده می شود، لکن با تغییر روش تفاضل محدود در مشتق گیری به روش مشتق گیری از توابع شکلی، انتظار می رود که بر دقت برنامه به نحو چشمگیری افزوده شود.

همانطور که ذکر شد، روش حل به طرق مختلفی به نحوه المان بندی حساس است. نخست بدليل محدودیتهای سخت افزاری، مجبور به کاهش تعداد المانها خواهیم بود و در حالیکه تحقیقات مشابه بر روی ابر رایانه های دانشگاهها با بیش از 180° المان تنها برای نصف سازه های متقاض بکار می رود، در این رساله با 90° المان برای کل حوزه و در واقع $\frac{1}{4}$ المانهای بکار رفته در دیگر تحقیقات، به نتایج مطلوب رسیده ایم که از نقاط قوت این روش و برنامه به حساب می آید. بطور کلی باید گفت که تعداد المانهای واقع بر روی جسم در میزان دقیق نیروها موثر خواهد بود. چرا که فشار در هر المان، ثابت و برابر مقدار آن در مرکز فرض می شود و در نتیجه هر چه المان کوچکتر باشد این فرض به واقعیت نزدیکتر خواهد بود. از طرف دیگر، اگر این المانها در مقایسه با دیگر المانها بیش از اندازه ریز باشند یا یک بعد آنها خیلی کوچکتر از دیگری باشد، مشابه آنچه در سازه های لاغر ممکن است رخ دهد، احتمال وقوع خطاهای عددی قوت می گیرد. چرا که تفاضل بزرگترین و کوچکترین عناصر ماتریسها بزرگ شده و یا مشتق گیری عددی دچار اختلال می شود.

نتیجه‌گیری و پیشنهادها

در این رساله بر مبنای روش المان مرزی، راه حل حوزه زمانی برای تفرق سه بعدی ارائه شده که به کمک آن اندرکنش غیرخطی امواج دریا و سازه‌های صلب حجیم با مقطع دلخواه مورد بررسی قرار می‌گیرد. شرایط مرزی سطح آب، بسط داده شده و به همراه شرط تابش اصلاح شده ارضا می‌شوند. بدین ترتیب مرزهای حوزه سیال، به مرزهایی ثابت در زمان کاهش یافته و در نتیجه به جای هر گام زمانی، تنها یکبار به حل دستگاه معادلات همزمان ناشی از مجزآسازی معادله انتگرالی نیاز خواهد بود که این باعث کاهش فوق العاده زمان لازم می‌شود. حل مسئله به دو بخش تقسیم می‌شود. بخش اول معلوم و مربوط به پتانسیل حتمی ناشی از موج استوکس در حوزه سیال بوده و بخش دوم پتانسیل پراکنده مجھول می‌باشد که در زمان و مکان گسترش می‌یابد. شرط تابش اعمالی بر پتانسیل پراکنده، به گونه‌ای اصلاح می‌شود که سرعت وابسته به زمان در آن لحظه شود. شرایط توسعه آغازین نیز با اعمال تدریجی شرط مرزی سطح جسم در طول یک پریود صورت می‌گیرد.

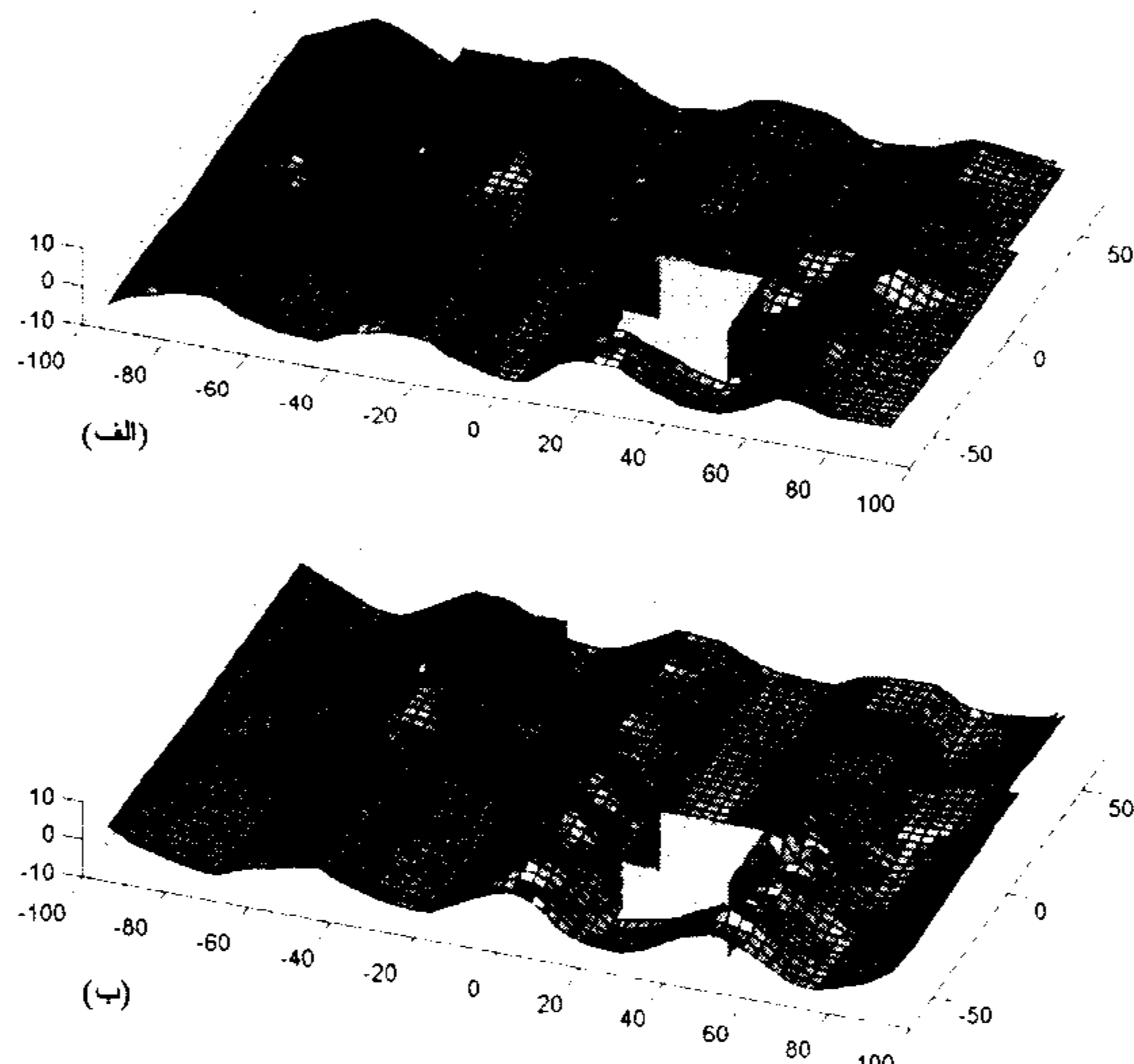
از این روش برای بررسی تفرق امواج در برخورد با استوانه‌های مدور قائم استفاده شد. نیروها و تراز سطح آزاد آب مربوط به مراتب اول و دوم برای ابعاد مختلف استوانه و عمق ارائه شده و مقایسه نتایج با دیگر تحقیقات انجام شده، سازگاری مطلوب را در محدوده تفرق نشان می‌دهد. با توجه به فعالیتهای صورت گرفته و تجربیات کسب شده، راهکارهای زیر به منظور بهبود هر چه بیشتر برنامه و آشنایی با تواناییهای روش بکار رفته پیشنهاد می‌گردد:

- ﴿ از نظر تحقیقاتی، با تبدیل المان مثلثی ثابت که در نسخه حاضر بکار رفته به المان چهار ضلعی مرتبه دوم، انتظار می‌رود که بر دقت برنامه خصوصاً در آبهای کم عمق و همچنین در محدوده سازه‌های لاغر افزوده شود.
- ﴿ در حالت پیشرفت، می‌توان امکان حرکت جسم را نیز به برنامه افزود تا اندرکنش واقعی موج و سازه انعطاف پذیر، بدست آید. در چنین حالتی به پتانسیل و نیمرخ سطح آب یک جمله دیگر اضافه می‌شود که به خاطر امواج ناشی از حرکت جسم می‌باشد:

$$\Phi = \Phi^w + \Phi^s + \Phi^r$$

در پایین دست، موج پراکنده با دامنه نزولی، در جهت موج حتمی انتشار می‌یابد.

بر خلاف جمع کثیری از روشهای عددی و تحلیلی ارائه شده برای مسئله تفرق که تنها به بررسی سازه‌های متقارن می‌پردازند، این برنامه امکان مدلسازی هر مانع با مقطع دلخواه و وضعیت قرارگیری مایل یا قائم را دارد. بعلاوه می‌توان چند پایه متصل به یک عرضه را همزمان مدل کرده و اثر مجموع آنها بر تفرق را ملاحظه کرد. به منظور اثبات این ادعای نمایش عملی تواناییهای برنامه، یک مدل نامتقارن از دو پایه مرتعی شکل و با فاصله در راستای انتشار موج تهیه و اجرا شده که در شکل (۸) نیمرخ سطح آب متفرق شده در دو لحظه متفاوت دیده می‌شود.



شکل ۸: نمایی از موج متفرق شده تا مرتبه دوم برای مانع با

$$\frac{1}{4} \text{ طول موج}, \text{kd} = 3.14, \text{H/L} = 0.04, \text{t/T} = 2.0; \text{ (b)} \quad \text{الف)$$

همانطور که ملاحظه می‌شود بخشی از موج که در مقابل پایه اول قرار دارد بدلیل ممانعت پایه از انتشار آزادانه آن دچار تأخیر فازی نسبت به قطار موج می‌شود. این تأخیر فاز ادامه خواهد داشت تا موج با پایه دوم برخورد کرده و بخش دیگری از آن نیز دچار این تأخیر فاز شود. بعلاوه، مشابه آنچه در تفرق امواج حول استوانه قائم مشاهده شد، در عبور موج از موانع بدلیل حضور سازه و ممانعت آن از حرکت آزاد موج، سطح متفرق شده آب در کنار مانع بشکل شانه‌های انسان و بصورت بالاً مددگی مضاعف آن ظاهر می‌شود.

شناورها و اندرکنش آنها با امواج را نیز در نظر گرفت. برای آشنایی بیشتر با این موضوع میتوان به مرجع [۱۷] اشاره کرد.

$$\eta = \eta^w + \eta^s + \eta^f \quad (۳۸)$$

در نتیجه با اندک تغییری در برنامه، میتوان حرکت

مراجع

- ۱ - خراسانچی، م. "حل تفرق سه بعدی امواج و نیروهای وارد بر سازه به روش المان مرزی در حوزه زمان"، پایان نامه کارشناسی ارشد، دانشکده فنی، دانشگاه تهران، (۱۳۸۱).
- 2 - Banerjee, and Butterfield, (1981). *Boundary element methods in engineering science*, McGraw-Hill, UK.
- 3 - Brebbia, and Aliabadi, (1993). *Adaptive finite & boundary element methods*, Elsevier, Amsterdam.
- 4 - Brebbia, and Domingues, (1989). *An introductory course to boundary elements*, Computational Mechanics Publications, Boston.
- 5 - Brebbia, and Wrobel, (1993). *Computational methods for free & moving boundary problems in heat & fluid flow*, PP. 67-93, Elsevier, Amsterdam.
- 6 - Chakrabarti, S. K. (1994). *Hydrodynamics of offshore structures*, Computational Mechanics Publications, Boston.
- 7 - Fenton, John D. (1985). "A fifth-order Stokes theory for steady waves." ASCE, *J. of Waterway Port Coastal and Ocean Engineering*, Vol. 111, PP. 216-234.
- 8 - Greaves, D. M., Borthwick, A. G. L., Wu, G. X. and Eatock Taylor, R. (1997). "A moving boundary finite element method for fully non-linear wave simulations." *Journal of Ship Research*, Vol. 41, Issue 3, PP. 181-194.
- 9 - Isaacson, M., (1982). "Nonlinear wave effects on fixed and floating bodies." ASCE, *J. of fluid Mechanics*, Vol. 120, PP. 267-281.
- 10 - Isaacson, M. and Cheung, (1990). "Time-domain solution for second-order wave diffraction." ASCE, *J. of Waterway Port Coastal and Ocean Engineering*, Vol. 116, PP. 191-210.
- 11 - Isaacson, M. and Cheung, (1992). "Time-domain second-order wave diffraction in three dimensions." ASCE, *J. of Waterway Port Coastal and Ocean Engineering*, Vol. 118, PP. 496-516.
- 12 - Koffman, and Elliot, (1993). *Fortran with engineering application*, Addison-Wesley.
- 13 - Ma, Q. W., Wu, G. X. and Eatock Taylor, R. (2001). "Finite element simulation of fully nonlinear interaction between vertical cylinders and steep waves - part1: methodology and numerical procedure." *International Journal for Numerical Methods in Fluids*, 36, 265-285
- 14 - Mahrenholtz, O. and Markiewics, M. (1999). "Nonlinear water wave interaction." *Advances in Fluid Mechanics*, Vol. 24, PP. 272.
- 15 - Ohl, C. O. G., Eatock Taylor, R., Taylor, P. H. and Borthwick, A. G. L. (2001). "Diffraction by a cylinder array Part I: regular waves." *Journal of Fluid Mechanics*, Vol. 442, PP. 1-32.
- 16 - Orlanski, I. (1976). "A simple boundary condition for unbounded hyperbolic flows." *J. Comp. Physics*, Vol. 21, PP. 251-269.
- 17 - Patel, Minoo H. (1989). *Dynamics of offshore structures*, Butterworth, London.
- 18 - Ramachandran, P. A. (1994). *Boundary elements methods in transport phenomena*, Computational Mechanics Publications, Boston.
- 19 - Wolfram, Stephen, (1996). *Mathematica book*, Wolfram, Cambridge.

- 20 - Wu, G. X. (1998). "Hydrodynamic force on a rigid body during impact with liquid." *Journal of Fluids and Structures*, Vol. 12, PP. 549-559.
- 21 - Zhu, G., Borthwick, A. G. L. and Eatock Taylor, R. (2001). "A finite element model of interaction between viscous free surface waves and submerged cylinders." *Ocean Engineering*, Vol. 28, PP. 989-1008.

واژه‌های انگلیسی به ترتیب استفاده در متن

- 1 - Incident Potential
- 2 - Scattered Potential
- 3 - Sommerfeld Radiation Condition
- 4 - Perturbation Parameter
- 5 - Boundary Element Method (BEM)
- 6 - Moving Boundary
- 7 - Constant Triangular Element
- 8 - Moving Boundary
- 9 - Taylor Series Expansion
- 10 - Diffraction
- 11 – Perturbation Expansion